

В результате оказалось, что с изменением  $\xi$  от  $3.0 \cdot 10^{-4}$  до  $3.0 \cdot 10^{-3}$   $\bar{R}(\xi)$  меняется в пределах от  $8.7 \cdot 10^{-3}$  до  $2.7 \cdot 10^{-2}$ .

Показатель ослабления серии оптических керамик ZnSe, отличающихся средним размером зерен (пределы  $d$  от 0.5 до 2.5 мм), определяли спектрофотометрическим способом. Используя (1), нашли, что в ИК области спектра в исследованных материалах  $\bar{R}(\xi)$  находится в пределах от  $6.1 \times 10^{-3}$  до  $3.1 \cdot 10^{-2}$ . Хорошее согласие экспериментальных данных с расчетными указывает на то, что отражение от межзеренных границ является, по-видимому, основным механизмом потерь энергии излучения в поликристаллах.

Создание в процессе получения оптического поликристалла условий для преимущественной ориентации зерен позволило бы уменьшить рассеяние на их границах, поскольку число отражений от границ может при этом значительно уменьшиться. Существенная и химическая чистота границ, влияющая на параметр  $\xi$ . С этой точки зрения весьма перспективно получение поликристаллического ZnSe методом осаждения из газовой фазы (CVD) [7].

Авторы благодарят Е. Д. Сереженко за полезные обсуждения.

#### Список литературы

- [1] Емелин В. Я., Классен Н. В., Осильян Ю. А., Табеев Э. Ф. // Препринт ИФТТ. Черноголовка, 1980. 10 с.
- [2] Ландау Л. Д., Лифшиц Е. М. Теоретическая физика. Т. VII. Теория упругости. М.: Наука, 1987. 248 с.
- [3] Блистанов А. А., Бондаренко В. С. и др. Акустические кристаллы. Справочник / Под ред. М. П. Шаскольской. М.: Наука, 1982. 632 с.
- [4] Кулаков М. П., Фадеев А. В. // Изв. АН СССР, неорг. матер. 1980. Т. 16. № 1. С. 159–161.
- [5] Брызгалов А. Н., Слепченко Б. М., Мусатов В. В., Вирачев Б. П., Романова Г. И. // Изв. АН СССР, неорг. матер. 1989. Т. 25. № 9. С. 1430–1433.
- [6] Сивухин Д. В. Оптика. М.: Наука, 1985. 752 с.
- [7] Владыко М. Н., Дерновский В. И., Татарченко В. А. // Изв. АН СССР, неорг. матер. 1986. Т. 22. № 2. С. 208–210.

Челябинский государственный  
педагогический институт  
Челябинск

Поступило в Редакцию  
4 апреля 1989 г.  
В окончательной редакции  
9 августа 1989 г.

УДК 539.219.3

© Физика твердого тела, том 32, № 2, 1990  
Solid State Physics, vol. 32, N 2, 1990

## КВАНТОВАЯ ДИФФУЗИЯ ВОДОРОДА В ГИДРИДАХ ПЕРЕХОДНЫХ МЕТАЛЛОВ

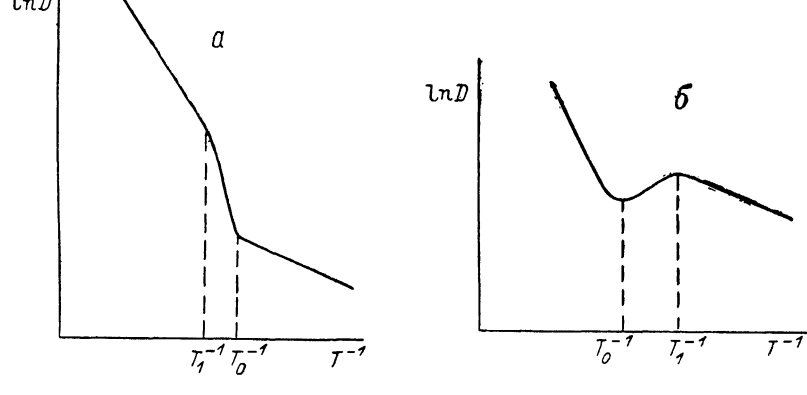
А. И. Морозов, А. С. Сигов

Гидриды переходных металлов весьма перспективны для наблюдения квантовой диффузии. При комнатной температуре основной механизм диффузии водорода по междоузлиям металлической матрицы связан с классическими падбарьерными переходами. С понижением  $T$  их вероятность экспоненциально падает, а в области низких температур преобладающий механизм диффузии определяется туннельными переходами из одного междоузлия в другое. Тот факт, что характерный матричный элемент туннелирования для водорода в металле по порядку величины составляет 0.1–1 K [1], позволяет утверждать, что этот переход должен происходить в экспериментально достижимой области температур. При этом падение коэффициента диффузии  $D$  с понижением температуры должно сменяться его возрастанием [2].

Однако такое явление экспериментально не наблюдалось. Как будет показано ниже, это связано либо с явлением расслоения на высоко- и низкоконцентрированную фазы водорода в металле, либо с захватом водорода кристаллическими дефектами. Рассмотрим отдельно два случая: 1) концентрация водорода  $x$  мала, но намного превосходит концентрацию точечных дефектов в образце  $y$ ; 2) противоположный предел  $y \gg x$ .

1)  $1 \gg x \gg y$ . Реально эта область отвечает концентрациям  $x \sim 0.01$  и практически для всех соединений  $MxH_x$  в диапазоне низких температур соответствует двухфазному состоянию [3]. Поэтому необходимо рассмотреть поведение макроскопического коэффициента диффузии в двухфазной области.

Поскольку  $x \ll 1$ , двухфазное состояние будет представлять собой вкрапления высококонцентрированной  $\beta$ -фазы в низкоконцентрированной  $\alpha$ -фазе. Сама структура  $\beta$ -фазы при нашем рассмотрении не имеет принципиального значения. Подвижностью вкраплений  $\beta$ -фазы можно пренеб-



Зависимость коэффициента диффузии от температуры.  $T_1 > T_0$  (a),  $T_1 < T_0$  (b).

речь, поэтому процесс переноса происходит за счет водорода, находящегося в  $\alpha$ -фазе. Следовательно, для макроскопического коэффициента диффузии  $D$  в области  $T$ , лежащих ниже температуры расслоения на фазы  $T_1$  (x), получаем

$$D(T) = c_\alpha(T) D_\alpha(T)/x, \quad (1)$$

где  $c_\alpha$ ,  $D_\alpha$  — концентрация водорода и его коэффициент диффузии в  $\alpha$ -фазе; коэффициент  $c_\alpha/x$  в (1) представляет собой долю водорода, находящегося в  $\alpha$ -фазе. Величина  $c_\alpha(T)$  экспоненциально убывает с температурой для  $T < T_1(x)$  (см., например, [4]):  $c_\alpha = \exp(-W_0/T)$ , где  $W_0$  — удельная энергия связи водорода в  $\beta$ -фазе. Отсюда получаем, что  $T_1(x) = -W_0/|\ln x|$ . При переходе в двухфазное состояние должна измениться энергия активации  $E$  для температурной зависимости коэффициента диффузии  $D$

$$D = D_0 \exp(-E/T). \quad (2)$$

Если в однофазной области она равнялась высоте барьера между двумя положениями равновесия в соседних междуузлиях  $E_0$ , то при  $T < T_1$   $E = E_0 + W_0$ .

Пусть теперь при  $T_0 < T_1$  характер диффузии изменяется от классического к квантовому. Если величина  $T$  меньше температуры Дебая, то зависимость  $D_\alpha(T)$  является степенной [1], и при  $T_0$  роль  $E$  в (2) играет  $W_0$ . Общий вид зависимости  $D(T)$  показан на рисунке, а. Если же  $T_0 > T_1$  (см. рисунок, б), то вблизи  $T_0$  зависимость  $D(T)$  будет переходить от экспоненциальной с  $E = E_0$  к степенному возрастанию с понижением  $T$ . При  $T = T_1$  рост  $D(T)$  сменится экспоненциальной зависимостью (2) и  $E = W_0$ .

2)  $x \ll y$ . В случае низких концентраций водорода весь достичимый для экспериментальных исследований диапазон температур соответствует однофазной области. Основным эффектом, препятствующим наблюдению роста  $D$  с понижением  $T$ , является захват водорода другими точечными дефектами, дислокациями и прочими дефектами упаковки. Когда роль ловушек играют точечные дефекты определенного типа,  $D(T)$  полностью аналогична рассмотренной в п. 1 и изображенной на рисунке, а, б. При этом, согласно [5],

$$D(T) = x(T) D_a(T) = [y(T/\tilde{W}_0)^2 \exp(\tilde{W}_0/T) + 1]^{-1} D_a(T), \quad (3)$$

$x$  — доля незахваченных атомов водорода,  $\tilde{W}_0$  — энергия связи водорода в ловушке. Температура

$$T_1^*(y) = \tilde{W}_0 / |\ln y| \quad (4)$$

является температурой кластеризации водорода с неподвижными точечными дефектами. Поскольку у дейтерия (трития) матричный элемент туннелирования на несколько порядков меньше, чем у протия, для него величина  $T_0$  попадает в область предельно низких  $T$ , а излом  $D(T)$  при  $T_0$ , соответствующей протию (см. рисунок, а), отсутствует.

При сопоставлении выводов теории с экспериментальными результатами необходимо особое внимание обращать на метод получения последних. Эксперименты по ЯМР и рассеянию нейtronов определяют локальную частоту прыжков атомов водорода, методы эффекта Горского и релаксации сопротивления позволяют найти непосредственно макроскопический коэффициент диффузии [1], что и сделано для изотопов водорода в ниобии и tantalе [6-8]. Для протия энергия активации уменьшалась при понижении температуры ниже 250 К в обоих металлах. Для дейтерия и трития такое уменьшение отсутствует, что может свидетельствовать, по нашему мнению, о появлении квантового вклада в диффузию протия.

Большинство измерений относится к случаю малых  $x$ , когда основную роль играют ловушки неизвестной природы. Введение примесей азота в ниобий [9] приводило к увеличению энергии активации в области  $T < T_1^*$ , что интерпретировалось авторами работы как отсутствие излома. На самом деле концентрация и величина  $\tilde{W}_0$  примесей азота превосходили соответствующие параметры ловушек, имевшихся до введения азота, поэтому главную роль начинать играть захват водорода атомами азота. А величина  $\tilde{W}_0$  для азота оказалась близкой  $E_0$ .

Вопрос о наличии квантовой диффузии водорода в ниобии и tantalе требует дальнейших исследований с целью согласования выводов теории и результатов эксперимента. Они могут проводиться на чистых образцах с концентрацией водорода  $x \sim 10^{-2} - 10^{-1}$ , причем значения  $c_a(T)$  должны быть получены из независимого эксперимента, что позволит определить  $D_a(T)$ . Для проверки зависимости (4) с последующим расчетом  $D_a(T)$  возможны также исследования на образцах с известной меняющейся концентрацией определенных примесей.

### Список литературы

- [1] Fukai Y., Sugimoto H. // Adv. Phys. 1985. V. 34. N 2. P. 263—326.
- [2] Андреев А. Ф., Либшиц И. М. // ЖЭТФ. 1969. Т. 56. № 6. С. 2057—2068.
- [3] Водород в металлах / Под ред. Г. Алефельда, И. Фелькля. М., 1981.
- [4] Смирнов А. А. Теория сплавов внедрения. М., 1979. 368 с.
- [5] Морозов А. И., Сигов А. С. // ЖЭТФ. 1989. Т. 95. № 1. С. 170—177.
- [6] Schaumann G., Völkl J., Alefeld G. // Phys. St. Sol. 1970. V. 42. N 1. P. 401—413.
- [7] Wipf H., Alefeld G. // Phys. St. Sol. (a). 1974. V. 23. N 1. P. 175—186.
- [8] Qi Zh., Völkl J., Lässer R., Wenz H. // J. Phys. F. 1983. V. 13. N 10. P. 2053—2062.
- [9] Richter D., Töpler J., Springer T. // J. Phys. F. 1976. V. 6. N 4. P. L93—L97.

Московский институт радиотехники,  
электроники и автоматики  
Москва

Поступила в Редакцию

23 мая 1989 г.

В окончательной редакции  
21 сентября 1989 г.